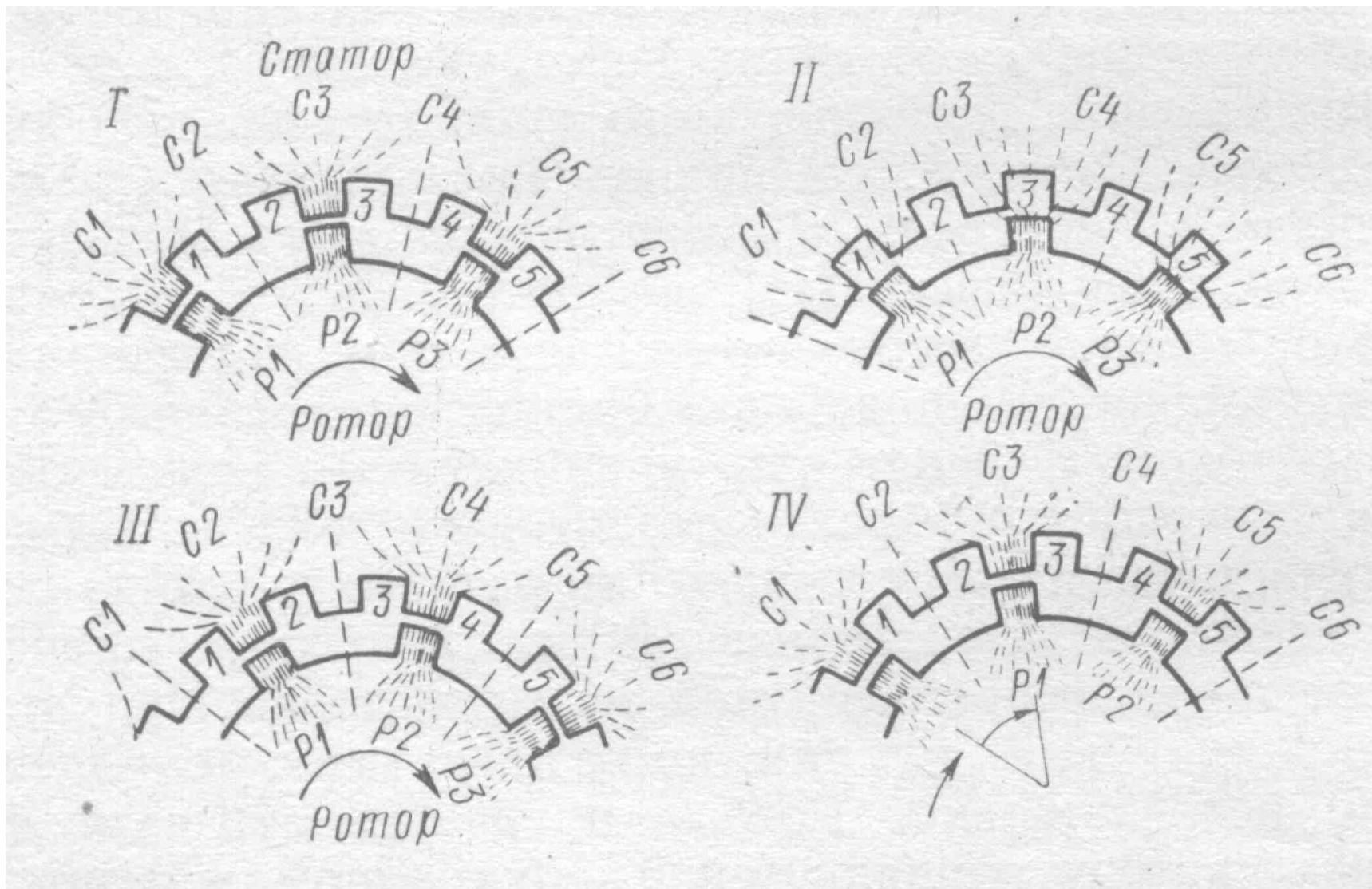
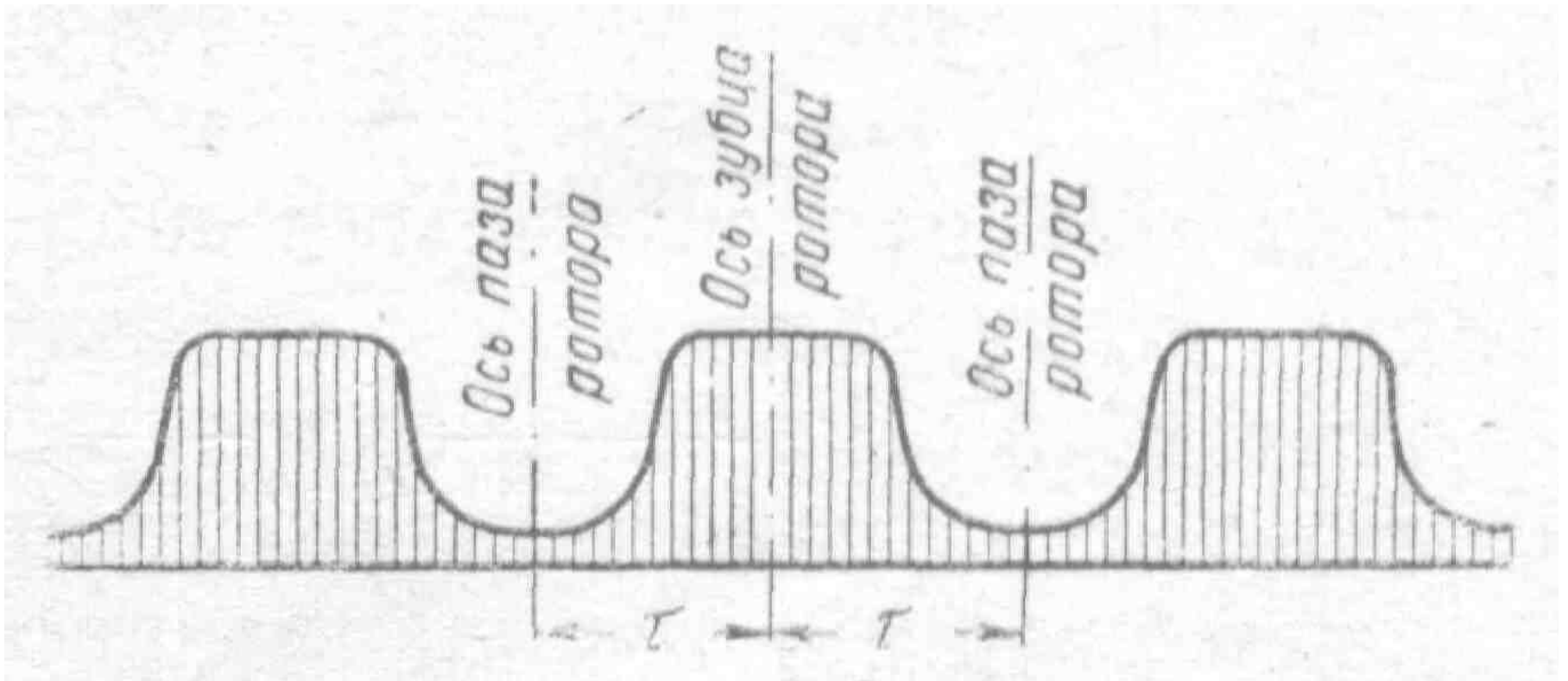


Схематический вид индукторного генератора:  
1-статор; 2-ротор



Взаимное расположение зубцовых зон ротора и статора при перемещении ротора (I – IV позиции)



Кривая распределения магнитного потока

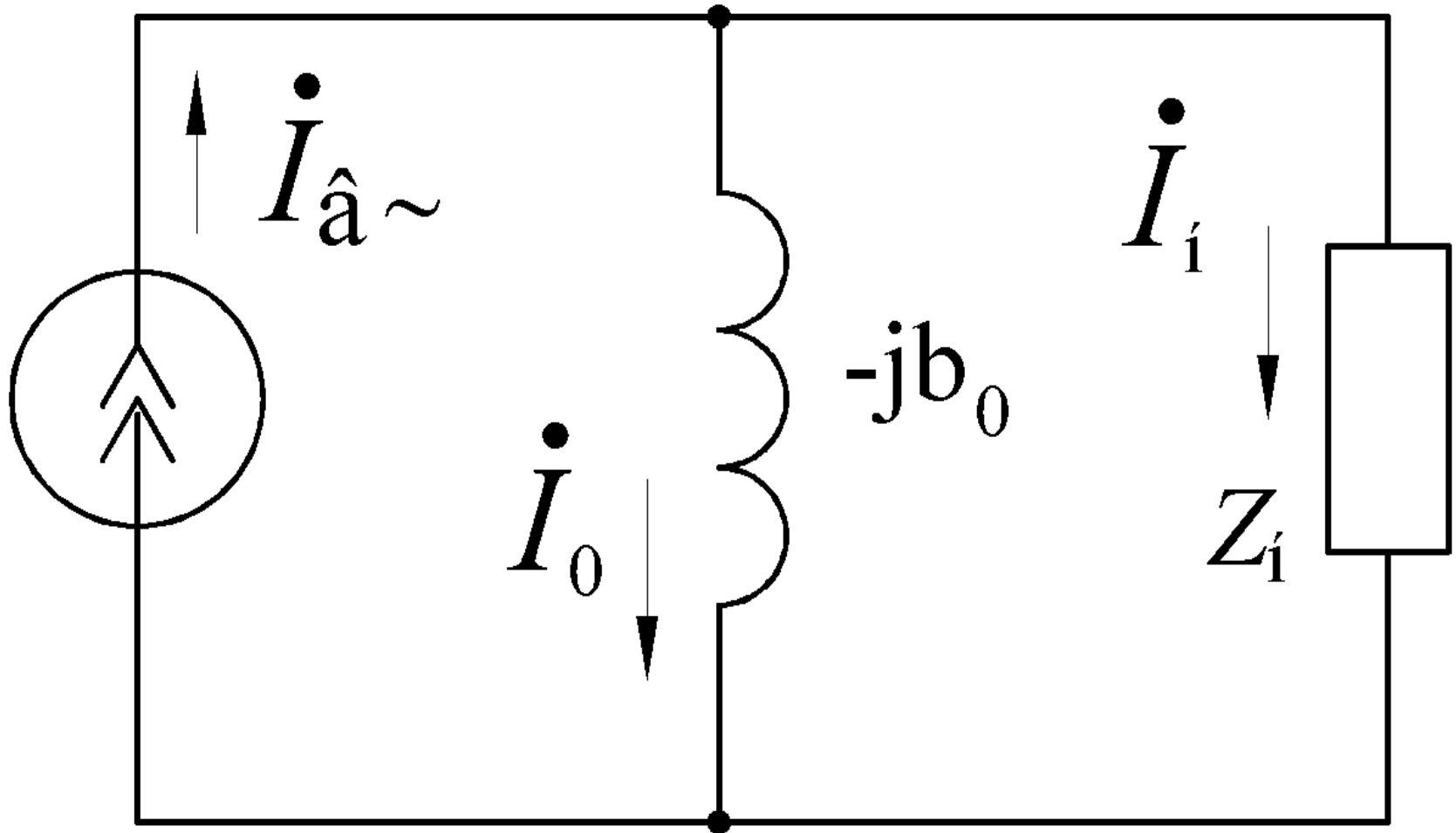
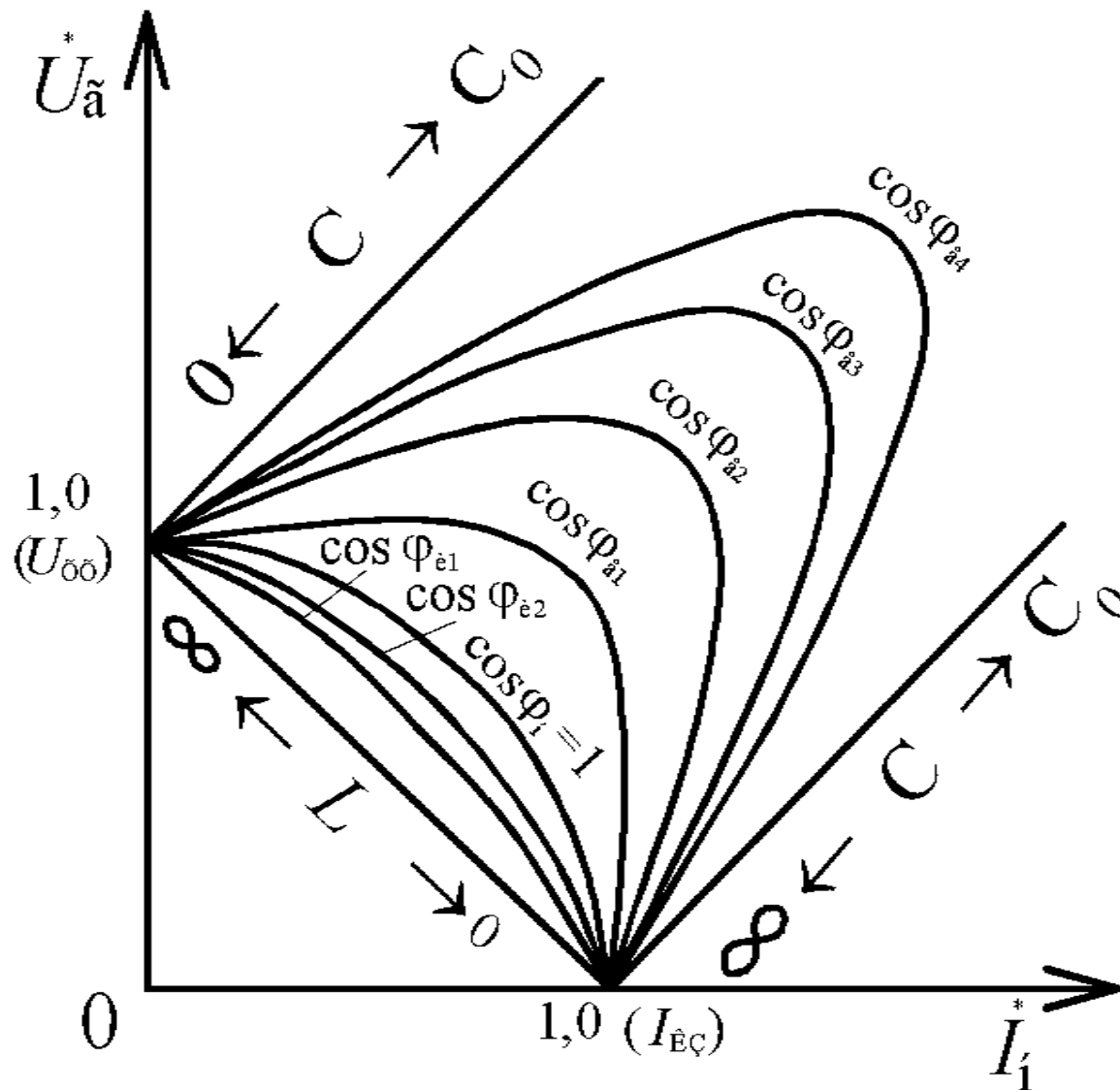
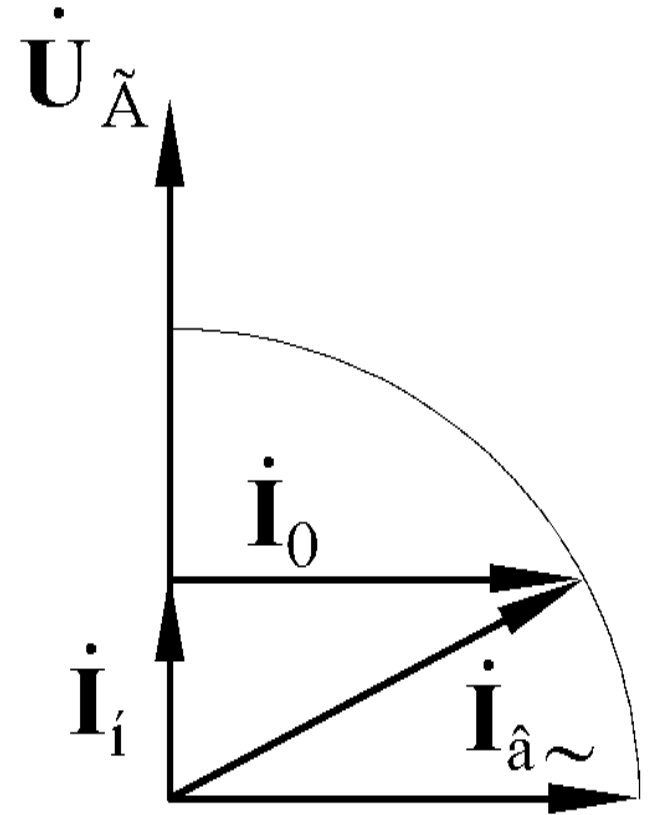
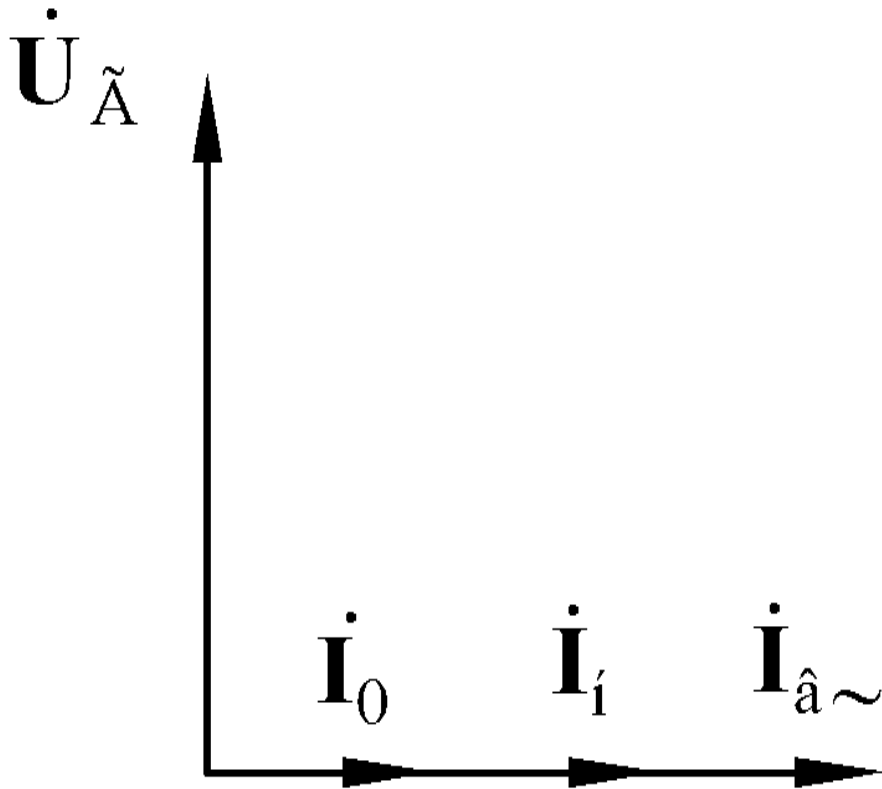


Схема замещения  
индукторного генератора

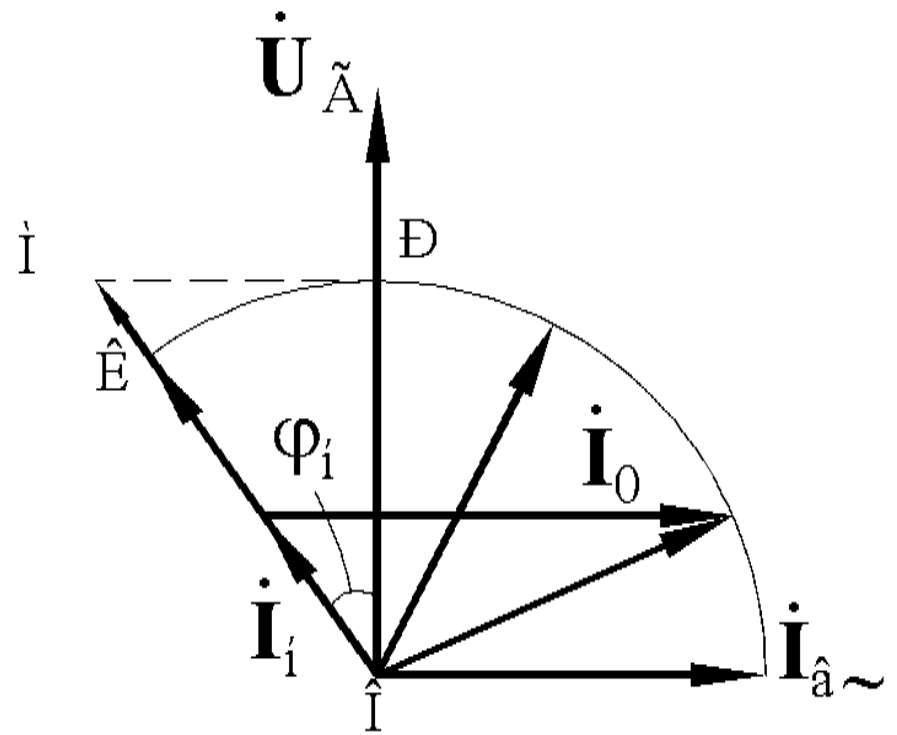
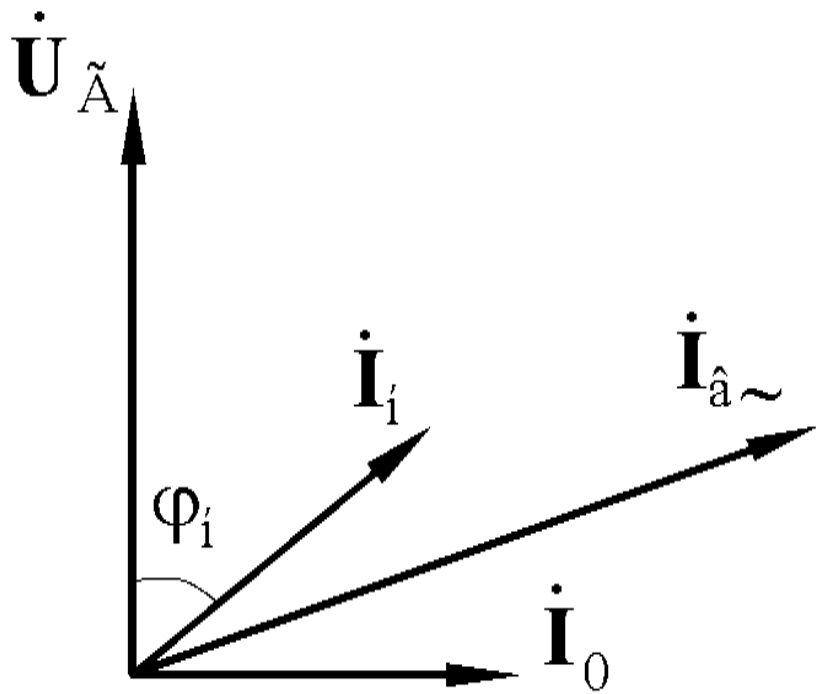


Внешние характеристики индукторного генератора  $\cos \varphi_c$  – для емкостного характера нагрузки,  
 $\cos \varphi_L$  – для индуктивного  
 ( $\cos \varphi_{c4} < \cos \varphi_{c3} < \cos \varphi_{c2} < \cos \varphi_{c1}$ ;  $\cos \varphi_{L2} < \cos \varphi_{L1}$ )



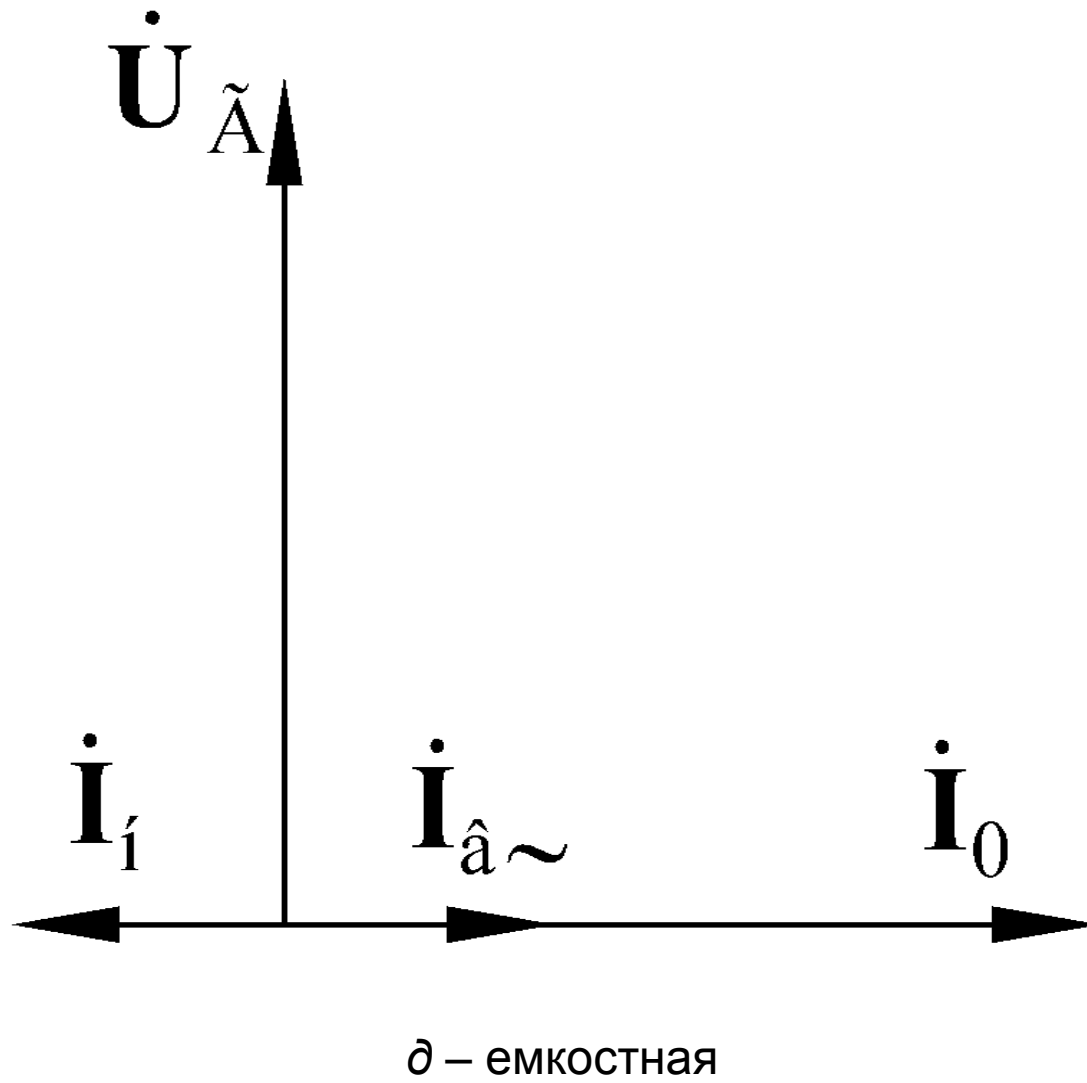
*a* – индуктивная; *б* – активная

. Векторные диаграммы токов для различной нагрузки

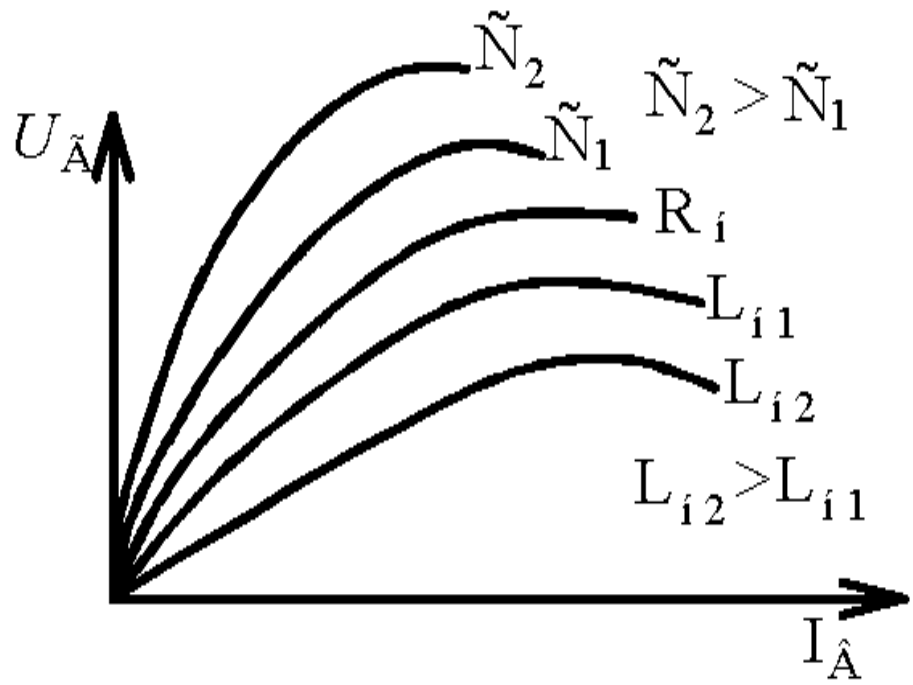
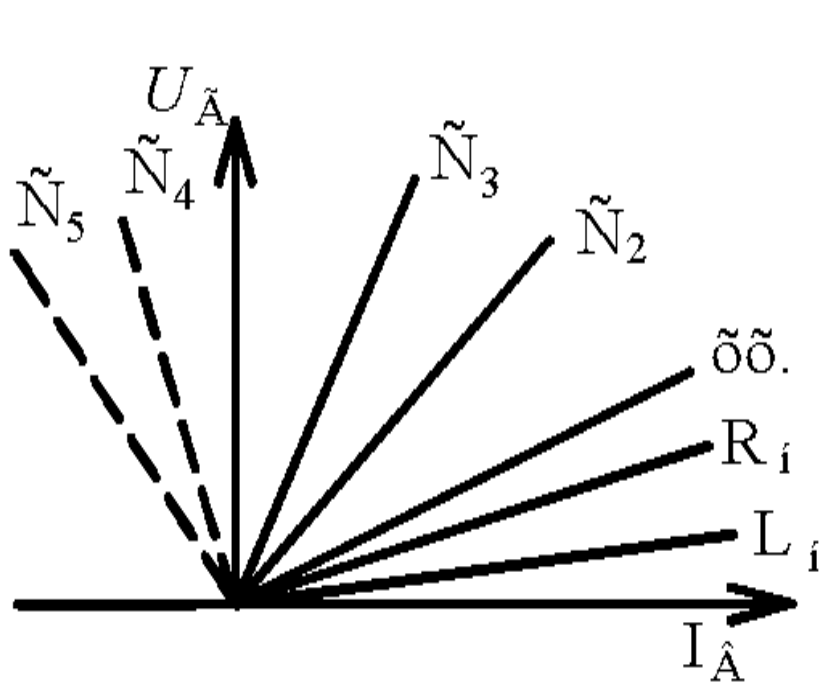


$\nu$  – активно-индуктивная;  $\varepsilon$  – активно-емкостная

. Векторные диаграммы токов для различной нагрузки



. Векторные диаграммы токов для различной нагрузки



Характеристики возбуждения генератора:  
 а – идеального генератора; б – реального

# Электромашинный преобразователь частоты типа

